

Міністерство освіти і науки України
Прикарпатський університет імені Василя Стефаника
Фізико-хімічний інститут

Ministry of Education and Science of Ukraine
Vasyl Stefanyk Precarpathian University
Physics-Chemical Institute

ФІЗИКА І ХІМІЯ ТВЕРДОГО ТІЛА

PHYSICS AND CHEMISTRY OF SOLID STATE

№ 4
2001
Том 2
Vol. 2

Журнал визнаний рішенням Президії ВАК України від 14.11.01 за № 2-05/9
фаховим виданням із трьох напрямків: фізичні, хімічні та технічні науки

Рекомендовано до друку Вченою радою Прикарпатського університету імені Василя Стефаника

Свідоцтво про державну реєстрацію
КВ № 3816 від 30.11.1999

Certificate of State Registration
KB No. 3816 from 30.11.1999

Передплатний індекс: 22938

Subscription index: 22938

© Прикарпатський університет імені Василя Стефаника, 2001
Фізико-хімічний інститут, 2001

Адреса редакції:
Прикарпатський університет
вул. Шевченка, 57,
Івано-Франківськ,
76000, Україна

Editorial address:
Precarpathian University
57, Shevchenko St.,
Ivano-Frankivsk,
76000, Ukraine

Тел.: +380 (0342) 59-60-82
Факс.: +380 (03422) 3-15-74
E-mail: FCSS@pu.if.ua
http://www.pu.if.ua/inst/phys_che/Start/pcss

Tel.: +380 (0342) 59-60-82
Fax.: +380 (03422) 3-15-74
E-mail: FCSS@pu.if.ua
http://www.pu.if.ua/inst/phys_che/Start/pcss

УДК 541.136.2

І.Ф. МIRONOK¹, В.М. ОРЕНКО¹, Б.К. ОСТАФІЙЧУК², В.І. МАНДЗЮК², І.І. ГРИГОРЧАК³
**Термодинамічні особливості струмоутворюючого процесу
в літєвих джерелах з катодом на основі піротенного
диоксиду кременію**

¹Інститут хімії поверхні НАН України, вул. Генерала Нуржова, 17, Київ, 03164, Україна

²Трикарпатський університет ім. Василя Стефаника, вул. Шевченка, 57, Івано-Франківськ

³Львівське відділення Інституту проблем матеріалознавства НАН України,
вул. Патона, 1, Львів, 79000, Україна

Використовуючи метод спектроскопії хімічного потенціалу, що базується на вимірюванні електропротісної сили літєвих елементів, досліджено термодинамічні особливості струмоутворення в катоді, виготовленого на основі піротенного диоксиду кременію різної дисперсності. Показано, що енергетична сміть елементів залежить від середнього діаметру первинних частинок SiO₂ і ступеня їх агрегування. Зроблено висновок про перспективність використання нанодисперсного кремнезему в якості катодного матеріалу.

Ключові слова: диоксид кременію, піротенний синтез, наночастинки, розподіл частинок за розмірами, ентропія, енергія Гіббса, питома сміть та енергія гальванічного елемента.

Стаття надійшла до редакції 18.06.2001; прийнята до друку 22.10.2001

1. Вступ

Пошук ефективних катодних матеріалів для літєвих джерел електричної енергії ведеться із залученням широкого спектру різноманітних матеріалів – халькогенідів перехідних металів, слоїстих синікатів, цеолітів, оксидів металів тощо [1-5]. Струмоутворюючий процес у джерелах такого типу здійснюється в результаті іпродвдження (інтеркалювання) іонів літїю в матеріал катоду [1,5]. Енергетичні можливості джерел визначаються здатністю катоду зворотньо поглинати ту чи іншу кількість гостьових іонів. Один з методів, який дозволяє суттєво збільшити кількість абсорбційних центрів і полегшити доступ до них іонів літїю, полягає в максимальному можливому диспергуванні матеріалу катоду.

Зменшення розмірів частинок більшості твердих матеріалів нижче деякої порогової величини приводить до значних змін їх фізико-хімічних властивостей [6]. Наприклад, дифузійна рухливість атомів у нанодисперсних матеріалах на декілька порядків є вищою в порівнянні з мікродисперсними або масивними зразками [6,7]. Перспективним матеріалом для створення на його основі електрохімічних елементів є нанодисперсний диоксид кременію, який одержують із галогенідів кременію так званим піротенним методом [8]. Вказаний кремнезем використовується в якості сорбента, наповнювача полімерів, згущувача дисперсних середовищ, носія активних речовин, однак в якості катодного матеріалу він не застосовувався.

Встановлено, що піротенний кремнезем має рентгеноаморфну структуру [9], для якої характерна відсутність дальнього порядку в розміщенні складових атомів. Сучасні уявлення про будову аморфного SiO_2 базуються на двох основних моделях — неупорядкованої переплетеної сітки та мікрокристалітної [10]. Перша з них сприймає аморфну фазу як неперервну сітку зчленованих вершинами кремній-кисневих тетраедрів. Альтернативна модель передбачає існування в аморфній фазі множини локально впорядкованих мікрообластей (мікрокристалітів розміром $\sim 1,5\text{-}2,0$ нм) з мотивами кристалітності і каури.

У термодинамічному аспекті наночастинки кремнезему мають значну надлишкову поверхневу вільну енергію і підвищену схильність до агрегації. Розривають декілька рівнів в ієрархії конденсованих структур піротенного SiO_2 . Насамперед це первинні частинки (мікроглобули) діоксиду кремнію розміром $5\text{-}20$ нм, які за даними [11] побудовані із ще дрібніших так званих проточастинок. У свою чергу первинні частинки утворюють поруваті агрегати з розміром частинки $\sim 50\text{-}200$ нм і більше. На стадії коагуляції, при одержанні піротенного кремнезему, агрегати конденсуються в агломерати (>1 мкм), які затім об'єднуються в конгломерати ($\sim 1\text{-}3$ мкм).

Квантовохімічні дослідження інтеркалювання літєм кластерів, що моделюють кристалічні модифікації діоксиду кремнію, показали [12], що найбільш придатними за розмірами для проникнення атомів літєму в структурні канали в-тридиміту вельовж напрямків [0001] та [110], оскільки дифузійне літєво в найбільшій за діаметром структурній каналі α -кварцу або в-квистобаліту є ендотермічним процесом, довший перебіг якого термодинамічно не вигідний. Зовсім інша енергетика виявилася при інтеркалюванні літєм кристалічних модифікацій діоксиду титану [13]. При входженні атомів літєво в структурні канали руху або аналізу необхідно подолати невеликий потенціальний бар'єр відповідно

в 11 і 39 ккал/моль. Подальший рух літєво потенціально супроводжується зниженням неупорядкованої енергії системи.

Неупорядкована структура мікроглобул піротенного діоксиду кремнію, значні внутрішні напруження в їх об'єкті, що пов'язані з лапласівським тиском порядку тілаєкакви, створюють сприятливі умови для впровадження літєво в аморфний SiO_2 .

У даній роботі ставилася мета дослідити ефективність катодів, виготовлених на основі піротенного діоксиду кремнію.

II. Методи дослідження

Нанодисперсійний діоксид кремнію одержували спалюванням парі тетрагідриду кремнію в повітряно-водневому потоку і при температурі $1000\text{-}1350$ °С. До основних факторів, які визначають умови перебігу структурно-утворюючих процесів, належать швидкість нахолодження реактивів, їх об'ємне співвідношення і турбулентність реакційного потоку [14,15]. Вказані фактори впливають також на морфологію первинних частинок, їх гідрофільність [16,17]. Для виготовлення катодів електрохімічних елементів використовували діоксид кремнію з питомою поверхнею (S_p): 170, 248, 320, 390 і $460\text{ м}^2\cdot\text{г}^{-1}$. У випадку піротенного SiO_2 середній діаметр первинних частинок (d_p) і S_p пов'язані співвідношенням $d_p = \frac{6}{\rho S_p}$, де ρ — густина аморфного кремнезему ($2,2\text{ г}\cdot\text{см}^{-3}$).

У табл. I наведені значення середнього діаметру первинних частинок для дослідних зразків піротенного кремнезему. Загальний вміст інших оксидів в SiO_2 не перевищував $0,08\%$.

Питому поверхню дослідних зразків SiO_2 вимірювали методом адсорбції аргону з потоку аргон-гелієвої суміші, використовуючи в якості реструкуючого приладу хроматограф [15]. Похибка вимірювання не перевищувала 6% . Розподіл частинок за розмірами в синтетичних зразках досліджували методом

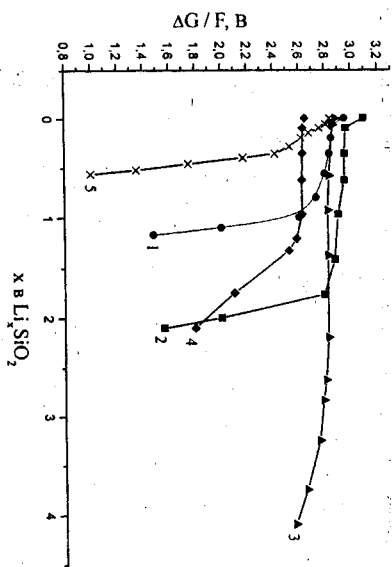


Рис. 1. Залежність вільної енергії Гіббса гальванічного елемента від кількості впровадженого літєво в катод, виготовлений на основі кремнезему із середнім діаметром частинки 16 нм (1); 11 нм (2); 9 нм (3); 7 нм (4) і 6 нм (5).

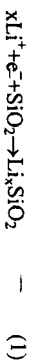
кванзіпружнього розсіювання катодного випромінювання ($\lambda = 633$ нм) на базі цифрового кореляційного фотометра Малпета (РС-1000М). Для заповнення агломеруваної частинки у водній суспензії спектральні виміри проводили зразу ж після її ультразвукової обробки. Температура суспензії складала 37°C і утримуувалася з точністю $\pm 0,2^\circ\text{C}$.

Для виготовлення катоду піротенний SiO_2 змішували з ацетиленовою сажою (10 мас.%) і алетеном. Пастоподібну масу (2 мас.%) наносили тонким шаром ($3\text{ м}\cdot\text{см}^{-2}$) на нікелеву сітку. Після висушування катод просочували розчином електроліту. Літєвий анод і катод, розділені сепаратором із пропілену, вставляли в корпус з ІМ розчином LiBF_4 в у-бутіролактоні і термостабували.

Термодинамічні характеристики інтеркальованого літєм кремнезему визначали, використовуючи метод спектроскопії хімічного потенціалу, що базується на вимірюванні електрохімічної сили гальванічних елементів з трьохелектродною схемою.

III. Результати та їх обговорення

Основний електрохімічний процес у літєвих джерелах струму реалізується з участю поверхні дисперсного катоду. При використанні в якості катоду кремнезему його можна записати у вигляді



Вільна енергія Гіббса (ΔG) гальванічного елемента функціонально пов'язана з його електрохімічною силою (E) рівнянням [11]

$$E = -\frac{\Delta G}{F} \quad (2)$$

де F — постійна Фарадея

На рис. 1 наведена залежність ΔG від кількості впровадженого літєво (x) в катод, виготовлений з кремнезему різної дисперсності (табл. 1).

Можна бачити, що літєві елементи з катодом на основі піротенного SiO_2 мають велику електрохімічну силу ($E = 2,9\text{-}3,1$ В). Однак їх енергетична емність залежить від середнього діаметра первинних частинок. Кількість впровадженого в кремнезем літєво зростає більш ніж в 4 рази при зменшенні d_p з 16 нм до 9 нм, а далі з 9 нм до 6 нм збільшенням дисперсності SiO_2 різко спадає. Для найдрібніших частинок ($d_p = 6$ нм) абсорбція атомів літєво є найменшою — $x \sim 0,5$ (рис. 1).

Таблиця 1
Розподіл частинок за розмірами для зразків піротермічного діоксиду кремнію з різною питомою поверхнею.

№ зразка	Питома поверхня кремнезему, $M^2 \cdot l^{-1}$	Середній діаметр первинних частинок, нм	Характерні розміри агрегатів, нм	Максимум в розподілі за розмірами агрегатів, нм	Об'ємна доля агрегатів, %
1	170	16	90-202	152	29
2	248	11	339-3231	642	71
3	320	9	90-129	106	16
4	390	7	202-808	280	72
5	460	6	808-3231	1292	12
			50-66	57	8
			90-202	131	82
			339-808	497	10
			90-202	122	30
			202-339	258	57
			808-3231	1292	13
			50-66	57	5
			202-339	258	5
			808-99999	2049	90

Для з'ясування причин впливу дисперсності SiO_2 на енергетичні параметри гальванічного елемента доцільно проаналізувати залежність ступеня агрегатованості наночастинок від їх середнього діаметру.

У табл. 1 наведені дані розподілу агрегатів за розмірами для зразків діоксиду кремнію з різною питомою поверхнею.

Оцінюючи ступінь агрегатованості піротермічного кремнезему за кількістю розміри основної фракції агрегатів можна виявити, що при зменшенні середнього діаметра первинних частинок з 16 нм до 9 нм максимум в розподілі частинок також зменшується з 642 нм до 131 нм, однак для більш дисперсних зразків SiO_2 спостерігається обернена залежність.

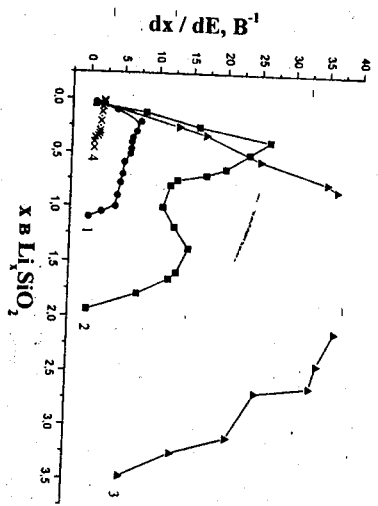


Рис. 2. Залежність диференціальної ємності гальванічного елемента від кількості впровадженого літію в катод, виготовлений на основі кремнезему з середнім діаметром частинок 16 нм (1); 11 нм (2); 9 нм (3) та 6 нм (4).

наприклад, для діоксиду кремнію з $d_s = 6$ нм більшість агрегатів (90 об. %) має розмір 2049 нм.

При стиснуванні експериментальних результатів простежується відповідність між кількістю впровадженого літію в наночастинок діоксиду кремнію і ступенем їх агрегатованості.

Серед дослідних кремнеземів тільки зразок 3 (табл. 1) має основну фракцію агрегатів (82 об. %) із найменшим розміром 131 нм, тому він абсорбує найбільшу кількість літію ($x = 4$).

Можна стверджувати, що для виготовлення катодів літєвих елементів слід використовувати кремнезем із середнім діаметром частинок 9 нм, оскільки такі частинки найменше агрегуються при піротермічному синтезі.

Проаналізуємо, чому агрегатованість наночастинок SiO_2 відомо впливає на перебіг топологічної реакції з участю іонів літію і кремнезему. Для реалізації електрохімічного процесу (1) необхідно забезпечити матеріалові катоду високу електронну провідність. Для цього при виготовленні катоду до кремнезему додають ацетиленову сажу ($d_s \approx 40$ нм).

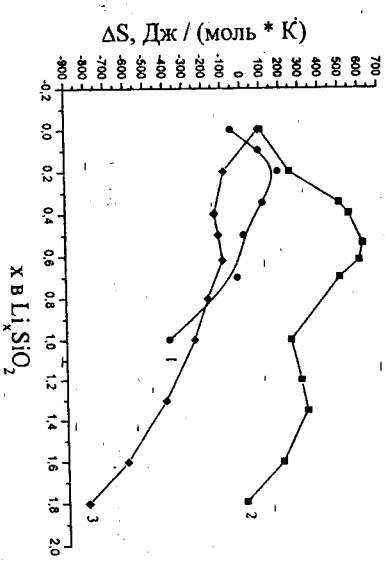


Рис. 3. Залежність питомої ентропії діоксиду кремнію від кількості впровадженого літію в частинки з середнім діаметром 16 нм (1); 11 нм (2) та 7 нм (3).

Однак у такий спосіб не можна надати електропровідності всій поверхні наночастинок. Вільний доступ електронів забезпечується незначний частині поверхні тільки тих мікротобуд., які розташовані зовні агрегатів і контактують із сажено, тому поверхня SiO_2 в об'ємі агрегатів не приймає участі у струмоутворенні. Більш висока енергетична ємність елементів із катодом на основі SiO_2 може бути досягнена за рахунок меншої агрегатованості наночастинок і надання значній частині їх поверхні електропровідності.

На рис. 2 приведені залежності диференціальної ємності $(\frac{dx}{dE})$ катоду від змісту літію в кремнеземі з різним середнім діаметром первинних частинок. Максимуми при $x = 0.2$ (крива 1) та $x = 0.5$ і $x = 1.5$ (крива 2) свідчать про ймовірність в інтегрованої частині літєвого оксиду кремнію ролу типу "порядок - безпорядок". Додатні значення питомої ентропії (ΔS) функціональної залежності $\Delta S = f(x)$ (рис. 3) в інтервалі $0.05 < x < 0.6$ (крива 1) та $0.05 < x < 1.8$ (крива 2) для вказаних зразків є ознакою нестійкої позиції атомів літію в

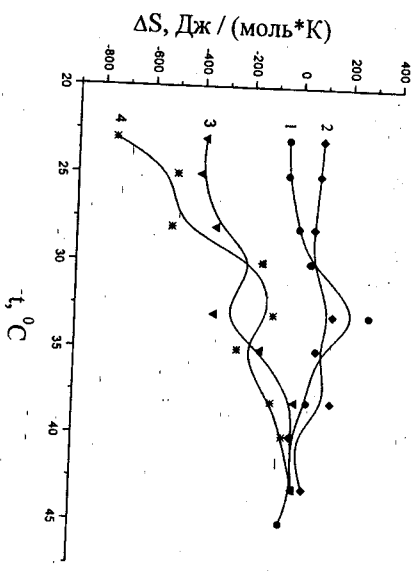


Рис. 4. Температурна залежність питомої ентропії пірогенного кремнезему з $d_c = 16$ нм (1) і $d_c = 7$ нм (2), а також відповідно інтеркальованого літєм $x = 0,36$ (3) та $x = 0,62$ (4).

структурі діоксиду кремнію. Це підтверджується також тим, що питомі ентропії інтеркальованого кремнезему зростає із збільшенням температури (рис. 4, крива 3, 4). Для більш дисперсного кремнезему ($d_c = 7$ нм) ΔS в інтервалі $0,1 < x < 1,8$ є від'ємною і неперервно зменшується.

Особливою є поведінка залежності $d_x = f(x)$ для діоксиду кремнію з $d_c = 9$ нм (рис. 2, крива 3). В інтервалі $0,8 < x < 2,1$ $d_x \rightarrow \infty$. Невизначеність функції у вказаному інтервалі значення x може бути пов'язана з утворенням нових фаз, наприклад, Li_2SiO_2 , $Li_2Si_2O_5$ та Li_4SiO_4 . Різноманітність поведінки термодинамічних функцій при виповалженні атомів літїю в джерел електричної енергії.

[4] І.І. Григорчук. Інтеркаляція: здобутки, проблеми, перспективи (огляд) // *Фізика і хімія твердого тіла*, 2(1), сс. 7-55 (2001).
 [5] G. Vetz, H. Tributsch. Energy conversion and storage using insertion materials // *Prog. Solid State Chem.*, 16(4), pp. 195-220 (1985).
 [6] Ю.І. Петров. *Фізика малих частин*, Наука, М. (1982).
 [7] А.І. Гусев. Эффекты нанокристаллического состояния // *Успехи физ. наук*, 168(1), сс. 55-83 (1998).
 [8] *Basic characteristics of Aerosil. Technical Bulletin Pigments*. DegussaAG: Frankfurt. 11, p. 81 (1997).
 [9] Р. Айнер Химия кремнезема. В 2 кн. Мир, М. (1982).
 [10] А.А. Чуйко, Ю.І. Гертов. *Химия поверхности кремнезема. Строение поверхности, активные центры, механизмы сорбции*. Наук. Думка, Киев (1992).
 [11] A.R. Legrand. *The Surface Properties of Silicas*. Wiley, New York (1998).
 [12] І.Ф. Миронюк, В.В. Лобанов, Б.К. Остафійчук, В.І. Мандзюк, І.І. Григорчук, Д.С. Яблонь. Про можливість проникнення літїю у структурні канали кристалічних модифікацій діоксиду кремнію // *Фізика і хімія твердого тіла*, 2(4), сс. 721-727 (2001).
 [13] І.Ф. Миронюк, В.В. Лобанов, Б.К. Остафійчук, І.І. Григорчук, Р.В. Гільницький. Електронна структура та властивості діоксиду титану, інтеркальованого металевим літєм // *Фізика і хімія твердого тіла*, 2(3), сс. 493-499 (2001).
 [14] О.О. Чуйко, І.Ф. Миронюк, В.М. Огенько. Роль складу реакційної суміші та динаміки газового потоку в пірогенному синтезі високодисперсного кремнезему // *Укр. хім. журн.*, 66(9), сс. 18-22 (2000).
 [15] І.Ф. Миронюк, В.М. Огенько, О.О. Чуйко. Вплив умов одержання пірогенного кремнезему на розміри його проточастинки та агрегата // *Укр. хім. журн.*, 66(11), сс. 25-30 (2000).
 [16] І.Ф. Миронюк, С.П. Воронін, С.М. Пахлов, О.О. Чуйко. Вплив умов одержання на гідрофільність високодисперсного пірогенного кремнезему // *Укр. хім. журн.*, 66(10), сс. 81-83 (2000).
 [17] В.М. Гунько, І.Ф. Миронюк, С.П. Воронін, С.М. Пахлов, Р. Лебода. Контрольований вплив на структуру високодисперсних кремнеземів // *Фізика і хімія твердого тіла*, 2(1), сс. 57-64 (2001).

І.Ф. Мугонюк¹, В.М. Огенько¹, В.К. Остафійчук², В.І. Мандзюк², І.І. Григорчук³

Thermodynamic Peculiarities of a Surrent Origin Process in Lithium Sources with the Cathode on the Basis of a Fumed Silica

¹Institute of Surface Chemistry of NAS of Ukraine, 17 General Naumov St., 03164, Kyiv, Ukraine.
²Research Institute named after Y. Seferyuk, 57 Shevchenko St., nano-Frankivsk 76025, Ukraine.
³Institute of Material Problems of NAS of Ukraine, Lviv Department, 1 Ralson St., Lviv, 79000, Ukraine

Using a method of spectroscopy of a chemical potential, which is based on the measurement of electromotive force of lithium cells, thermodynamic peculiarities of surrent origin in the cathode, which is produced of different dispersity silicon dioxide was researched. It is shown, that capacity of elements depends on middle diameter of primary copules of SiO₂ and degree of their aggregation. A conclusion is made about the perspective usage of nanoprecipitable silica as a cathodic material.

[1] І.А. Кедринский, В.Е. Дмитриченко, И.И. Груданов. *Литиевые источники тока*. Энергоатомиздат, М. (1992).
 [2] Н.В. Коровин. Электрохимическая интеркаляция в катодные материалы. Структура интеркалируемых материалов и их применение // *Электрохимия*, 34(7), сс. 741-747 (1998).
 [3] В.С. Петров, И.В. Кедринский, Е.В. Махонин. Принципы подбора катодных материалов для циркулируемых литиевых батарей // *Неорганические материалы*, 33(9), сс. 1031-1040 (1997).